

Smeringopus roeweri Kraus, 1957

Kraus, O. 1957. Araneenstudien 1. Pholcidae (Smeringopodinae, Ninetinae). Senck. biol. 38(3/4): 217-243.

p. 226

Smeringopus roeweri n. sp.

Taf. 21 Fig. 23-27.

♂ Beschreibung: Ceph kaum meßbar länger als breit. Clypeus steil, fast senkrecht gestellt, leicht gewölbt, seine Höhe gleich dem 5fachen Durchmesser der VM. Sternum wenig breiter als lang, glatt, beborstet. Auf den Cheliceren (Fig. 23) frontal nahe der Clypeus-Unterkante ein grober, stumpfer Zapfen, nahe der Klauen-Basis ein weiterer Vorsprung, der nach vorn gerichtet und dabei leicht nach ventral-medial gebogen ist.

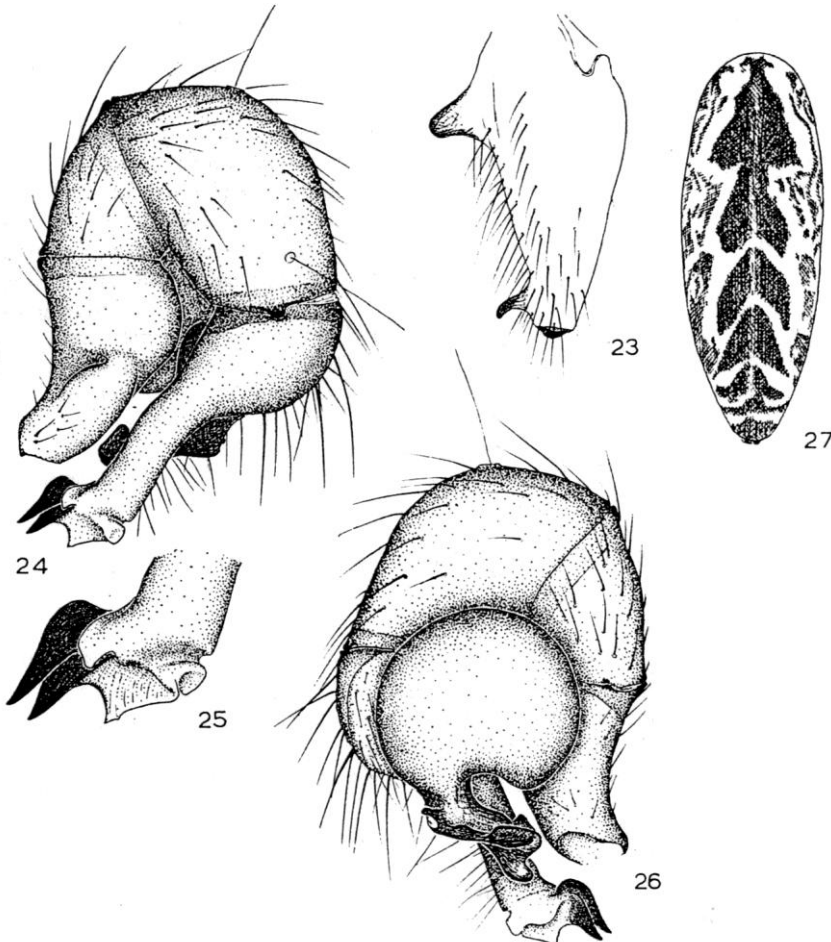
Reihe der VA recurv, die untere Tangente der VS schneidet die VM deutlich oberhalb der Mitte. HA schwach recurv. $VM=HM<VS=HS$. VM um ihren halben Radius von sich selbst und um $\frac{3}{4}$ ihres Radius von den VS entfernt. Abstand der HM meßbar kleiner als ihr Längsmesser. Das von den VM+HM gebildete Trapez wenig kürzer als hinten breit (0.54:0.50).

Erklärungen zu Tafel 21.

Fig. 23-27. *Smeringopus roeweri* n. sp.

23) Chelicere von lateral; 24) rechter Pedipalpus (♂) von lateral; 25) distales Ende des Ta stärker vergrößert; 26) rechter Pedipalpus (♂) von medial; 27) Abdomen von dorsal.

p. 227



Beine: Längenverhältnis der Fe I:IV:II:III, Fe I $6\frac{1}{2}$ mal so lang wie der Ceph.

Pedipalpen (Fig. 24-26): Fe, Pt und Ti ohne Besonderheiten. Ta lateral (Fig. 25) in einen leicht S-förmig gebogenen Fortsatz ausgezogen, der am Ende außer verschiedenen Lamellen zwei gleichartige, grobe und geschwärzte Chitinklingen trägt. Bulbus-Apophyse vgl. Fig. 26.

Abd fast 3mal länger als breit.

M a ß e : Ceph L 2.2; B 2.1. — Abd L 4.8; B 1.7. — Ges L 7.0. — Fe I 14.0; II 10.2; III 8.0; IV 11.1.

A - D u r c h m e s s e r : VM 0.16; VS 0.19; HM 0.16; HS 0.19. — A b s t ä n d e : VM 0.04; VM-VS 0.06; HM 0.12.

F ä r b u n g : Ceph mit dunkler Medianbinde, die vorn-jederseits durch eine feine Linie mit der A-Region verbunden, in der Mitte (Thorakalgrube) eingeschnürt und kurz vor dem Hinterrand des Ceph am breitesten ist. Seitenrandbinden schmal, doch auf der Fläche des Ceph je 3 große Submarginalflecke, entsprechend der Lage der Coxen I, II, III. Clypeus mit parallelem, schmalen Bindenpaar. Sternum und Labium nahezu schwarz, durch einzelne hellgelbe Fleckchen marmoriert. Abd dorsal Fig. 27; die schwarzen Wellenlinien der Flanken mit einzelnen Fleckchen auch auf die Ventralseite übergreifend; Abd ventral vor der Epigastralfurche breit geschwärzt, in den beiden mittleren Vierteln eine breite Medianbinde, die durch zwei schmale, helle Zonen dreigeteilt erscheint, im hinteren Viertel ein leicht lanzettförmiger, schwarzer Fleck.

M a t e r i a l u n d V o r k o m m e n : Ruanda (1♂ Holotypus RII/7770).

Huber, B. A. 2012. Revision and cladistic analysis of the Afrotropical endemic genus *Smeringopus* Simon, 1890 (Araneae: Pholcidae). Zootaxa 3461: 1-138.

p. 117

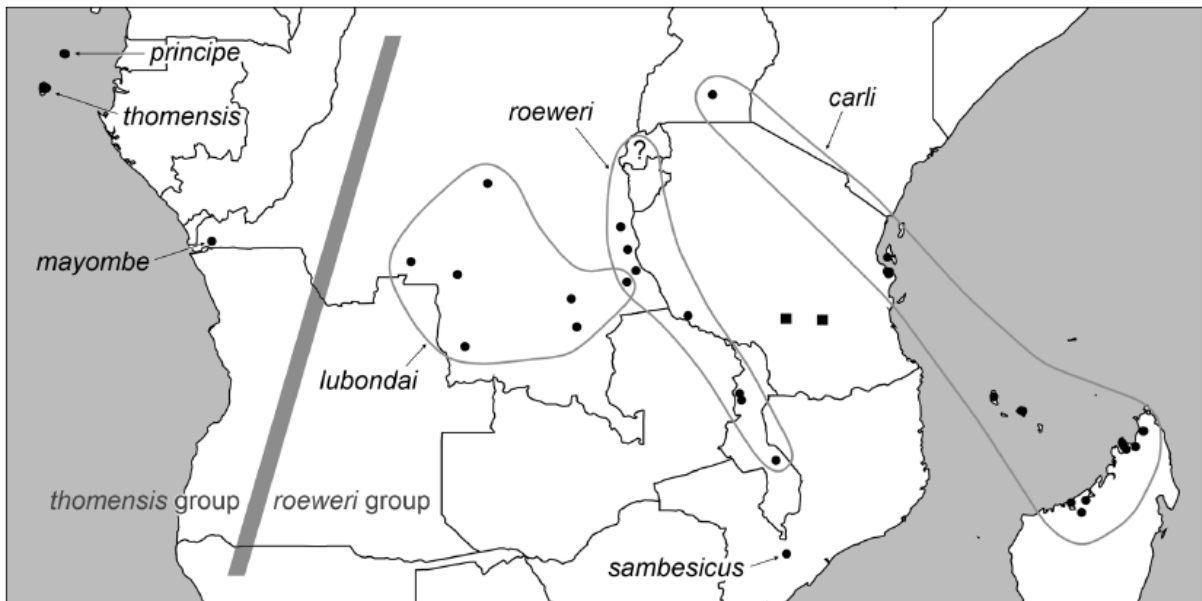


FIGURE 718. Known distributions of the *thomensis* and *roeweri* groups. “?”: unknown type locality of *S. roeweri* in Rwanda. Squares: further undescribed species.

p. 121



FIGURES 745–756. *Smeringopus roeweri* group, habitus and left male palps, prolateral and retrolateral views. 745–746. *S. roeweri*, male, dorsal and ventral views. 749–750. *S. roeweri*. 751–752. *S.*

***Smeringopus roeweri* Kraus, 1957**

Figs. 745–746, 749–750, 757–758, 765–773, 791–800

Smeringopus roeweri Kraus 1957: 226–228, pl. 21, figs. 23–27.

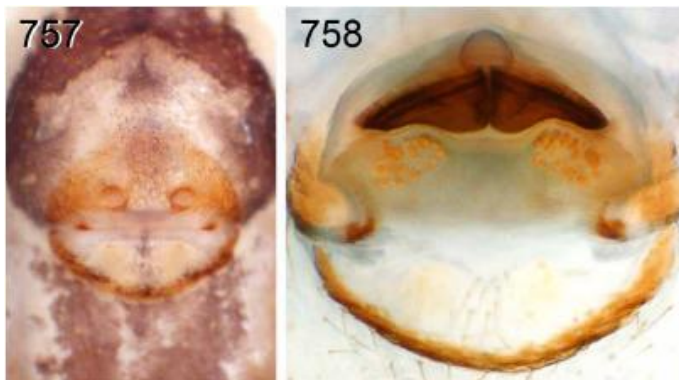
Type. Male holotype from Rwanda, no further data, in SMF (RII 7770), examined.

Diagnosis. Distinguished from similar species with proximal and distal cheliceral apophyses (*S. carli*, *S. sambesicus*, *S. lubondai*) by shapes of procurus (distal blade-shaped apophyses, Figs. 765–767), bulb (processes of embolus, Figs. 768–770), and cheliceral apophyses (Figs. 771, 772); from *S. carli* and *S. sambesicus* also by shorter frontal epigynal plate (Fig. 757).

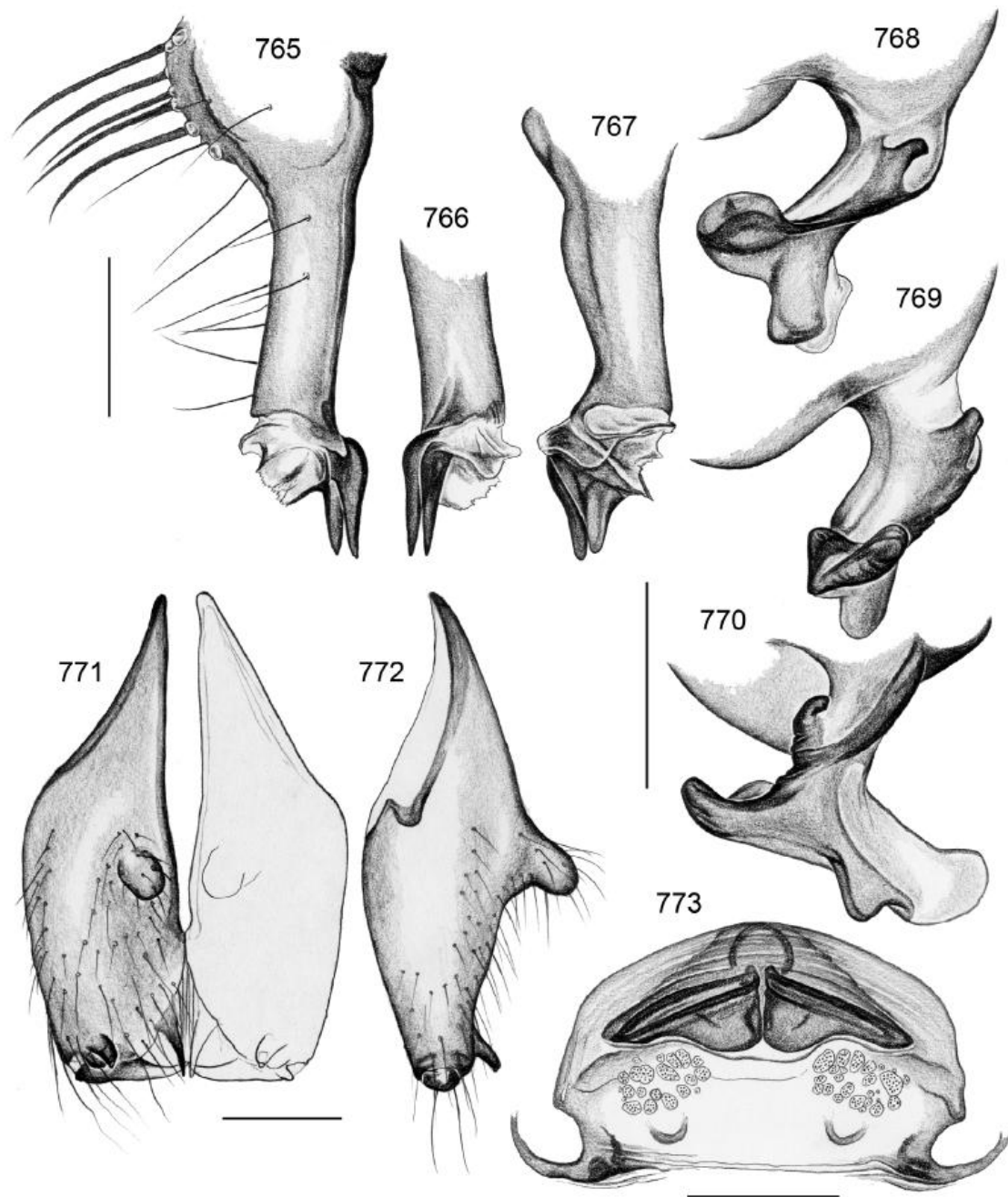
Male (Bendera). Total body length 6.9, carapace width 2.1. Leg 1: 51.3 (14.3 + 0.9 + 13.7 + 19.7 + 2.7), tibia 2: 9.9, tibia 3: 7.5, tibia 4: 10.1; tibia 1 L/d: 52. Habitus as in Figs. 745 and 746. Carapace ochre-yellow with brown median and lateral marks, clypeus with pair of brown stripes, sternum brown with light marks near coxae 2–4 and more medially, legs light brown, tips of femora and tibiae lighter, darker rings on femora and tibiae distally and in patella area, abdomen ochre-gray with distinct dorsal and ventral pattern. Distance PME-PME 205 µm, diameter PME 175 µm, distance PME-ALE 60 µm, distance AME-AME 45 µm, diameter AME 170 µm. Ocular area slightly elevated, secondary eyes with small ‘pseudo-lenses’ (Fig. 796); deep thoracic pit. Chelicerae as in Figs. 771 and 772, with prominent proximal apophyses and small distal apophyses. Palps as in Figs. 749 and 750, coxa with distinct retrolateral apophysis and shallow wide furrow, trochanter barely modified, femur with retrolateral furrow with ventrally distinct rim, procurus with distinctive distal blade-shaped processes (Figs. 765–767, 792, 793), bulb with distinctive complex embolus (Figs. 768–770, 794). Legs without spines, few vertical hairs, with curved hairs on tibiae and metatarsi 1 and 2, retrolateral trichobothrium on tibia 1 at 2%; prolateral trichobothrium present on tibia 1. Gonopore with two epiandrous spigots (Fig. 795).

Variation. Tibia 1 in 41 males: 9.6–15.2 (mean 12.2). The holotype is in fair condition but chelicerae and right palp are missing; tibia 1 missing, tibia 2: 9.3; color pattern indistinct (light areas artificially darkened).

Female. In general similar to male; tibia 1 in 80 females: 8.4–13.2 (mean 9.8). Epigynum a simple plate, round pockets posteriorly deeper but also anteriorly with distinct rim (Figs. 757, 798); internal genitalia as in Figs. 758 and 773. ALS with eight spigots each (Fig. 799); PMS with two spigots each (Fig. 800). Females from Tatanda (Tanzania) remind of *S. peregrinus* (anterior rim indistinct, pockets closer together) and are assigned tentatively.



FIGURES 757–764. *Smeringopus roeweri* group, epigyna, ventral views and cleared female genitalia, dorsal views. 757–758. *S. roeweri*.



FIGURES 765–773. *Smeringopus roewert*. 765. Left cymbium and procurus, retrolateral view. 766–767. Left procurus, prolateral and dorsal views. 768–770. Left embolus, prolateral, prolatero-ventral, and prolatero-dorsal views. 771–772. Male chelicerae, frontal and lateral views. 773. Cleared female genitalia, dorsal view. Scale lines: 0.3 mm.

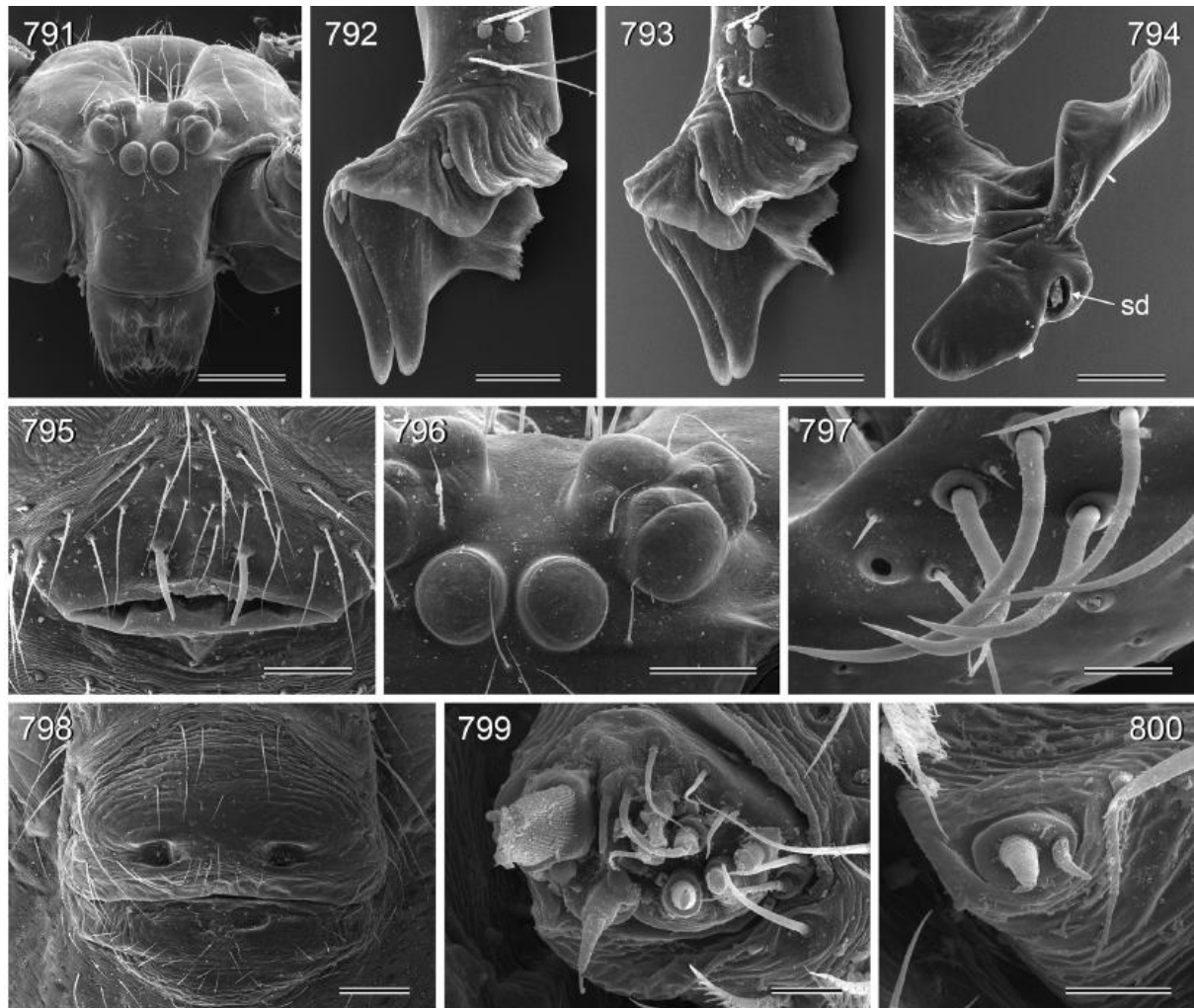
Distribution. Known from Rwanda, southeastern Congo D.R. (Tanganyika), western Tanzania, and Malawi (Fig. 718).

Material examined. RWANDA: 1♂ type above.

CONGO D.R.: *Tanganyika Prov.*: Terr. d’Albertville, Bendera [5°03’S, 28°54’E], 950 m a.s.l., in *Macrotermes* nest, x.1958 (N. Leleup), 2♂2♀ in MRAC (112886). Kapona [7°11.0’S, 29°08.7’E], iii.1966 (J. Bafort), 1♂2♀ 2 juvs. in MRAC (129785 part). Albertville [=Kalemie, 5°56’S, 29°11’E], 1959 (J. Verhoustraete), 1♂2♀ in MRAC (115067 part). Mpala, bord lac Tanganika [~6°44’S, 29°30’E], 11.vii.1953 (H. Bomans), 45♂79♀ in MRAC (75869–918).

TANZANIA: *Rukwa Region*: Sumbawanga Distr., Tatanda, 80 km S of Sumbawanga (8°29.6'S, 31°30.2'E), 1800 m a.s.l., around houses, 3.–4.ii.1997 (P.P. Bjørn, L. Sørensen), 2♂4♀ 1 juv. (females assigned tentatively; see above) in ZMUC.

MALAWI: *Northern Region*: Mzimba Distr., 10 mi N Mzimba [~11°45'S, 33°35'E], 1610 m a.s.l., 23.ii.1958 (E.S. Ross, R.E. Leech), 1♂1♀ in CAS. 41 mi N Mzimba [~11°30'S, 33°30'E], 1360 m a.s.l., 23.ii.1958 (E.S. Ross, R.E. Leech), 1♀ in CAS. *Southern Region*: Mpepwe near Monkey Bay [~14°05'S, 34°55'E], 24.ii.1976 (R. Jocqué), 1♀ in MRAC (148103).



FIGURES 791–804. *Smeringopus roeweri* (791–800)

791. Male prosoma, frontal view. 792–793. Left procurus, prolateral and dorsal views. 794. Left embolus. 795. Male gonopore. 796. Male ocular area. 797. Cymbial macrotrichia. 798. Epigynum. 799. Female ALS. 800. Female PMS.

Scale lines: 20 µm (799–800, 803–804), 50 µm (797), 80 µm (792–793), 100 µm (794–795), 200 µm (796, 798, 801–802), 500 µm (791).